

OCR を利用したホモグラフ IDN の検知法

澤部 祐太^{1,a)} 千葉 大紀^{2,b)} 秋山 満昭² 後藤 滋樹¹

概要：正規サイトのドメイン名に類似したドメイン名を利用するホモグラフ攻撃が問題となっている。ホモグラフ攻撃は正規サイトのドメイン名に含まれる文字を視覚的に類似する文字列で置換したドメイン名（ホモグラフドメイン名）を生成して、ユーザを本来とは異なるサイトへ誘導する攻撃である。特に非 ASCII 文字を用いることが可能な国際化ドメイン名（IDN）では類似ドメイン名を多数生成することが可能であり、攻撃者がホモグラフ攻撃で生成した IDN（ホモグラフ IDN）がフィッシング攻撃で利用された事例が存在する。既存のホモグラフ IDN の検知手法には固定的な変換表を用いてドメイン名を検知する手法がある。この方法では変換表に登録されていない文字を検知することができない、変換表を人手で更新する必要があるという課題がある。本稿ではホモグラフ IDN が視覚的に正規サイトのドメイン名に類似しているという特徴に着目して、Optical Character Recognition (OCR) を利用してホモグラフ IDN を検知する手法を提案する。評価に当たっては実際に利用されていた 319 万件の IDN、および 1 万件の悪質な IDN を用いて従来手法と提案手法を比較して、従来手法では検知できなかったホモグラフ IDN が提案手法を用いることで検知可能であることを確認した。

キーワード：ドメイン名、国際化ドメイン名 (IDN)、ホモグラフ攻撃、OCR。

1. 序章

ドメイン名は Web サイトやメールアドレスの一部として世界中で広く使われている。元々ドメイン名とは IP アドレスの代わりに人間が覚えやすい文字列に変換するために導入されたものであり、一般にサービス名が含まれることが多い。サイバー攻撃を行う攻撃者はこのようなドメイン名の性質を悪用して、正規のサービスで利用されているドメイン名に類似したドメイン名を用いて攻撃を行う。このような正規サービスを狙う悪質なドメイン名には大きく分けて 2 種類存在する。一つは人間のタイプミスを狙ったタイポスクワッシング [2] と呼ばれる攻撃である。これは、正規サイトのドメイン名に対してキーボードの配列上で距離的に近い文字を置換・挿入することで類似するドメイン名を生成する攻撃である。もう一つは人間の視覚における判断ミスを狙ったホモグラフ攻撃 [3] と呼ばれる攻撃である。これは、正規サイトのドメイン名の一部を視覚的に類似する文字に置換することで類似するドメイン名を生

成する攻撃である。本稿ではホモグラフ攻撃において生成されたドメイン名をホモグラフドメイン名と呼ぶ。国際化ドメイン名 (Internationalized Domain Name (IDN)) の導入以後、ドメイン名に Unicode に含まれる文字を用いることが可能となったため、タイポスクワッシングと比べてホモグラフ攻撃の方がはるかに多くの数の正規ドメイン名に類似するドメイン名を作り出すことができる。また、ホモグラフ攻撃で作成された IDN (ホモグラフ IDN) が実際にフィッシング攻撃で利用された事例が存在する [4]。

ホモグラフ IDN の検知手法には事前に作成しておいた「視覚的に近い」文字の変換表を利用する手法が存在する。この変換表には非 ASCII 文字とそれに類似する ASCII 文字の組が登録されており、変換表の情報を基にドメイン名中の非 ASCII 文字を ASCII 文字に変換することで正規サイトに類似したホモグラフ IDN を検知することが可能となる。ただし、この手法では変換表に登録されていない文字は変換することができない。また変換表の更新を人手で行う必要があるという課題がある。本研究では事前に変換表を作成することなく、動的に変換表を作成してホモグラフ IDN を検知する手法を提案する。我々の提案手法は任意の IDN と正規サイトのリストを入力として、ドメイン名を画像に変換して Optical Character Recognition (OCR) で読み取ることにより正規サイトと視覚的に類似するホモ

¹ 早稲田大学基幹理工学研究所

² NTT セキュアプラットフォーム研究所

a) sawabe.yuta@ruri.waseda.jp

b) daiki.chiba@ieee.org

本稿は APAN Research Workshop 2018 において発表された論文 [1] の拡張版である

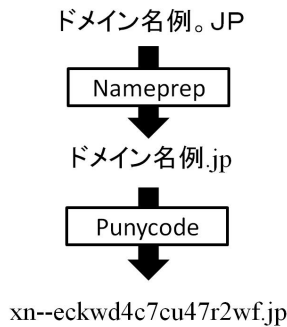


図 1 IDNA による変換例

グラフ IDN を抽出する。本手法の主要なアイデアは、ホモグラフ IDN が正規サイトのドメイン名に類似しているという根本的な特性を逆手に取り、OCR の文字認識を利用することでホモグラフ攻撃の標的とされる正規ドメイン名を自動的に抽出することにある。本論文の貢献は次のとおりである。

- OCR を利用してホモグラフ IDN を検知する手法を初めて提案した。
- 319 万件の存在する IDN，および 1 万件の悪質な IDN を用いて提案手法の有効性を評価した。
- 提案手法は、従来手法では登録されていなかった非 ASCII 文字を含む変換表を作成することができた。

2. 背景

2.1 国際化ドメイン名 (IDN)

インターネットにおいて当初は英語の使用を想定していたため、ドメイン名には ASCII 文字、数字、ダッシュ文字のみしか使用することはできなかった。しかし、インターネットが非英語圏でも利用されるようになったことで、Web や電子メールと同様にドメイン名も多言語で利用できるようにしたいという要望があがった。そこで、ドメイン名に非 ASCII 文字を利用できるようにするために国際化ドメイン名が考案された [5]。近年ではトップレベルドメイン名 (TLD) に非 ASCII 文字を用いた国際化トップレベルドメイン名 (IDN TLD) も使用されている。実装にあたっては非 ASCII 文字に対応していない既存の仕組みと互換性を持たせるために、RFC3490 [6] で定義された IDN を ASCII 文字列に変換する IDNA (Internationalizing Domain Names in Applications) と呼ばれる仕組みが用意されている。図 1 は IDNA を利用して日本語ドメイン名を ASCII 文字列に変換する例である。IDNA には Nameprep [7] と Punycode [8] の 2 つの処理が含まれる。変換後のドメイン名は通常のドメイン名と区別するために、頭に “xn-” をつけて IDN であることを明示する。

2.2 ホモグラフ攻撃

ホモグラフ攻撃とは正規サイトのドメイン名中の一部の

example.com (正規ドメイン名)

example.com (数字 ‘1’ を利用したホモグラフ IDN)

ëxample.com (キリル文字 ‘ë’ を利用したホモグラフ IDN)

example.com (キリル文字 ‘a’ を利用したホモグラフ IDN)

図 2 ホモグラフドメイン名の例

文字を別の文字列で置換したドメイン名を生成する攻撃である。図 2 に example.com に対するホモグラフドメイン名の例を示す。2 番目は本来のドメイン名中の文字 “l” を数字の “1” で置換したホモグラフドメイン名である。ユーザはこのドメイン名を見た際に視覚的特徴から正規のドメイン名であると判断する可能性が高いが、実際には異なるドメイン名であるため別のサイトへアクセスしてしまう恐れがある。3, 4 番目のドメイン名はドメイン名中の文字をキリル文字で置換したホモグラフ IDN である。非 ASCII 文字の中には字形が似ている文字が数多く存在するため、こうした文字を活用することで人の目では区別することが困難なドメイン名を大量に生成することが可能になる。このように、ホモグラフ攻撃では正規サイトに類似したドメイン名を用いてユーザの判断ミスを引き起こして、ユーザが意図するサイトとは異なるサイトへ誘導する。実際にフィッシング攻撃においてホモグラフ IDN が利用されていた事例が報告されている [4]。そこで、各種 Web ブラウザではドメイン名中に異なる言語の文字が混在している場合にはホモグラフ IDN であると判断して、Punycode の形式で表示する対策を取った [9]。しかし、Xudong や Wordfence らはそうしたブラウザの対策を回避するようなホモグラフ IDN を発見し、その危険性を訴えている [10], [11]。これは正規サイトのドメイン名に含まれるすべての文字を別の言語の文字で置換すれば、ブラウザではホモグラフドメイン名であると判断されなくなるためである。また正規ドメイン名の保有者の中には、類似するドメイン名を第三者に取得されないように防衛目的で取得するブランドプロテクションを行っている場合がある。このような、ドメイン名の取得・維持には費用が掛かるため一部の保有者しか対策を行っていない [12]。以上のように、ホモグラフ攻撃はその危険性が認識されながらも対策が十分とは言えない。

3. 提案手法

本節ではホモグラフ IDN (2.2 節) を検知する提案手法について説明する。3.1 節で提案手法の概要について説明し、3.2 節から 3.5 節にかけて各ステップの詳細を説明する。

3.1 提案手法の概要

本稿では OCR を利用して視覚的に類似するホモグラフ IDN を検知する手法を提案する。提案手法は IDN のリス

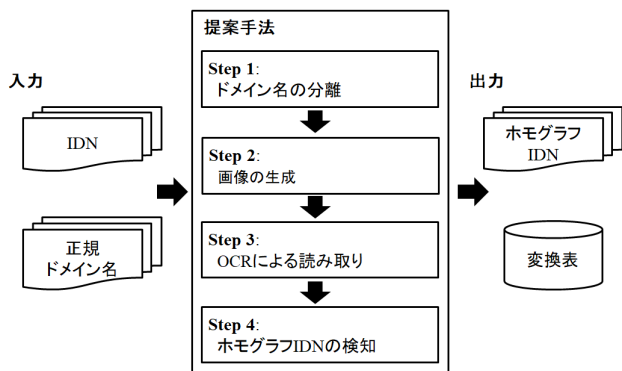


図 3 提案手法の概要

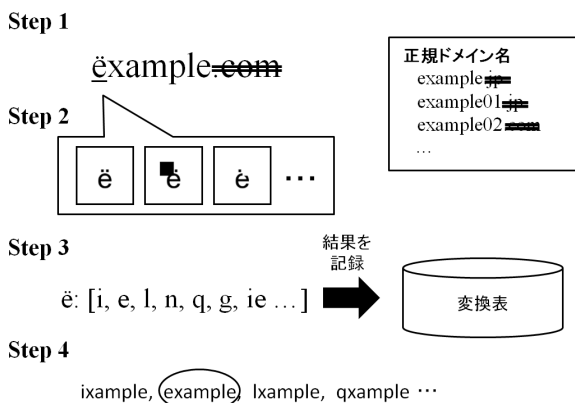


図 4 提案手法の適用例

トと正規サイトのドメイン名のリストを入力として、最終的に検出したホモグラフ IDN と対応する正規サイトのドメイン名の一覧、および OCR の変換結果を登録した変換表を出力する。提案手法の概要を図 3 に、適用例を図 4 に示す。提案手法はドメイン名の分離、画像の生成、OCR による読み取り、ホモグラフ IDN の検知の 4 つのステップで構成される。以下に各ステップを順番に説明する。

3.2 Step 1: ドメイン名の分離

入力した IDN、および正規サイトのドメイン名から Public Suffix を取り除く。Public Suffix とは、ドメイン名のうち個人ユーザがコントロールできない部分の文字列を指す [13]。例えば、Public Suffix は、.com や、.net のような generic top level domain (gTLD) や、.co.jp や.co.uk のような country code top level domain (ccTLD) を含む文字列で構成される。この Step を導入する理由は、攻撃者がホモグラフ IDN を生成する際に、必ずしも標的の正規サイトドメイン名と同じ Public Suffix を利用するとは限らないからである。例えば、攻撃者が example.com を標的にしたホモグラフ IDN を生成する際に、example.com だけでなく、example.co.jp を用意することは十分にありうる。特に 2013 年 10 月以降は.xyz や.top のような New gTLD が導入され、Public Suffix として利用可能なドメイン名の数が増加し、それらが実際に攻撃に多用されている

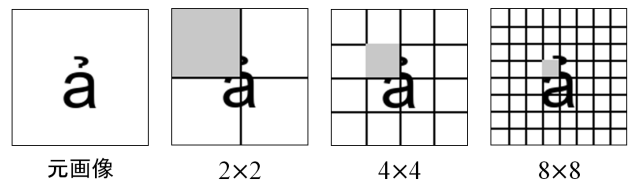


図 5 マスク画像の例 (マスク色:白)

ことが知られている [14]。したがって、この Step を導入することは、検知可能なホモグラフ IDN の範囲を拡大させるのに役立つ。残されたドメイン名は“.”によって複数の文字列に分離しておく。

3.3 Step 2: 画像の生成

まず、Step 1 で作成した IDN の文字列を OCR で読みとるための画像に変換する。OCR には通常文字の切り出し機能が搭載されているが、“.”のような小さな文字や“i”、“l”のような線状の文字に対しては認識精度が落ちる。そこで、精度を落とさずに正規ドメイン名の候補を生成するために、文字列から 1 文字ずつ画像を生成する。

次に、多様なホモグラフ IDN を OCR で特定可能にするために事前の画像処理を行う。本提案手法で OCR を利用する目的は、ホモグラフ IDN で利用される Unicode 文字を攻撃者が似せようとした ASCII 文字として OCR に自動認識させることである。例えば、図 4 では文字“e”を OCR で読み取った際に“ë”に変換されることを期待する。しかし、OCR の精度が高い場合には“ë”と“e”では字形が異なるため期待通りの読み取り結果にならない場合がある。そこで、画像の一部を塗りつぶして字形を変えた画像をあえて用意して、読み取り結果に多様性を持たせる。このような画像をマスク画像と呼ぶ。マスク画像で塗りつぶす際に用いる色には黒と白の 2 パターンを用意する。白の場合には文字の一部を消去することで、黒の場合にはノイズを加えることで、それぞれマスクをかけない画像と比べて読み取り結果に影響を与えることができる。また、マスクのサイズを 3 パターン用意する。具体的には、作成した画像を 2×2、4×4、8×8 マスに分割し、そのうち 1 箇所を黒または白で塗りつぶす。最終的に、1 文字に対し 2 種類の色 (黒、白)、84 種類のマスク箇所ので 168 種類のマスク画像、およびマスクを適用しない画像の計 169 種類の文字画像が生成される。図 5 は生成した白色のマスク画像の一例である。なお、分かりやすさのためにマスクの色をグレーで表記しており、分割したマスの罫線を書き加えている。

3.4 Step 3: OCR による読み取り

Step 2 で生成した画像を OCR で読み取り、ドメイン名中の文字を視覚的に類似する文字へ変換する。同じ文字の画像であってもマスクの色、大きさによって読み取り結果が異なる場合があるため、複数の読み取り結果をまとめて

変換表に記録する。この際、一つの文字に対して複数の読み取り結果を登録することで、本提案手法は多様なホモグラフ IDN の検知を実現している。また、この変換表の作成には事前の学習を必要とせず、入力した IDN を基に動的に生成することができる。

3.5 Step 4: ホモグラフ IDN の検知

Step 3 で作成した変換表の情報を基に、入力 IDN をホモグラフ IDN と考えた場合に想定される正規ドメイン名の候補を生成する。生成された正規サイトのドメイン名リストに含まれるドメイン名と一致するものが存在した場合には、入力 IDN がホモグラフ IDN であると検知し、対応する正規サイトのドメイン名と共に出力する。

Step 3 で OCR の読み取り結果の全部を登録すると、Step 4 において候補ドメイン名の数が膨大になる可能性がある。また登録数が多い場合には、Step 4 において視覚的に類似していない正規ドメイン名まで候補に含まれて誤検知となる場合がある。一方で登録数が少ない場合には、多様なホモグラフ IDN を検知することができない。Step 3 で適切な登録数となるように調整する必要がある。本評価における具体的な調整法を 4.4.2 節で説明する。

4. 評価

本節では 3 章で説明した提案手法の有効性について評価を行う。具体的には、従来手法と提案手法を用いて検知されるホモグラフ IDN の数について比較を行う。

4.1 従来手法

従来手法では固定的な変換表を利用する。変換表には非 ASCII 文字とそれに視覚的に類似する ASCII 文字列をあらかじめ登録しておく。変換表は二つの変換表を用いる。一つは dnstwist [15] で用いられている対応表から作成した変換表である。dnstwist はドメイン名の類似性を利用した攻撃で用いられる悪性ドメイン名の探索に用いられるツールである。dnstwist の内部ではすべての英字とそれに対して視覚的に類似する文字列の対応表が用意されており、ホモグラフドメイン名の探索には対応表を利用する。この対応表を逆に利用することで非 ASCII 文字と視覚的に類似する ASCII 文字を登録した変換表を作成することができる。もう一つは Unicode Consortium が提供している類似文字の対応表である。この対応表には Unicode の文字とそれに類似する文字列が登録されており、今回は 2018 年に作成された Version 11.0.0 の変換表 [16] の中から変換後の文字が英字のもののみを抽出して利用する。二つの変換表を利用することで、IDN 中の非 ASCII 文字を視覚的に類似する ASCII 文字に変換することができる。ここで、提案手法との性能比較を行うために、入力を IDN のリストと正規サイトのドメイン名のリストとし、変換表の情報を基

表 1 データセットの概要

データセット	データ取得日	#IDNs
Project Sonar Dataset	2018-08-03-2018-08-04	3,198,144
Malicious Dataset	2017-10-29-2017-11-10	16,341

に正規サイトのドメイン名の候補を生成し、検知されたホモグラフ IDN を出力する仕組みを用意した。

4.2 データセット

評価には 2 つのデータセットを利用する。一つは Project Sonar で公開されている Forward DNS のデータセット [17] である。このデータセットは DNS リクエストに対して A, AAAA, ANY レコードを返したドメイン名のみ登録されており、データセット中のドメイン名はすべて実際に IP アドレスと紐づいていたドメイン名である。このデータセットの中から IDN を抽出して評価に用いる。もう一つは悪性ドメインのデータセットである。これは、公開ブラックリスト hpHosts [18], MalwareDomains [19], Phishtank [20] と商用ブラックリスト Spamhaus [21], URIBL [22] を組み合わせたものである。このデータセットの中から IDN を抽出して評価に用いる。データセットの概要を表 1 に示す。

4.3 評価観点

本評価では 4.2 節で説明したデータセット中の IDN を入力として、従来手法と提案手法で検知されるホモグラフ IDN の数や性質を比較する。評価においては以下の条件を満たすホモグラフ IDN を検知対象とする。

- (1) 視覚的に英字に類似する非 ASCII 文字を用いている
- (2) アクセス数の多い正規サイトのドメイン名を標的にしている

条件 1 より、OCR の読み取り結果は英字のみに限定し、ドメイン中の ASCII 文字は OCR による変換を行わずにそのまま利用する。条件 2 より、入力する正規サイトのドメイン名には Alexa Topsites [23] の上位 1,000 件に含まれるドメイン名を用いる。

4.4 事前準備

4.4.1 正規ドメイン名

評価で用いる正規サイトのドメイン名を準備する。正規サイトのドメイン名で用いる Alexa Topsites のデータ中には、Public Suffix を除いた部分が一致するドメイン名が複数含まれている。例えば、1 位は google.com であるが、Public Suffix のみ異なるドメイン名 (例、google.co.jp) が上位 100 件の内 24 件、上位 1,000 件の内 75 件存在する。そこで Public Suffix の部分を除いたドメイン名が重複するドメイン名は最上位のドメイン名だけを残す。

また、Public Suffix 以外のドメイン名について、極端に

ドメイン長が短い場合はホモグラフドメイン名であるかどうか判断することが難しくなる．そこで、今回は適切な評価を行うために、ドメイン長が4文字以下の正規ドメイン名は評価の対象外とする．以上の手順で作成した723件のドメイン名を正規サイトのドメイン名として利用する．

4.4.2 OCR の設定

OCRにはオープンソースのTesseract OCR [24]を利用する．Tesseract OCRは精度向上のために事前に読み取る対象の言語を指定したり、ホワイトリストと呼ばれる読み取り結果で利用できる文字を指定したりすることが可能である．今回の評価ではホワイトリストに英字を指定して、読み取り結果が英字のみになるように設定した．

また、本評価ではOCRの読み取り結果の多い順から上位10件のみを変換表に登録した．ただし誤検知を防ぐために、Tesseract OCRが出力するconfidenceとよばれる読み取り結果の精度を表すスコアを利用する[25]．検知したIDNに含まれる各文字の読み取り結果に対するconfidenceを記録し、confidenceの平均値が閾値以下になる候補ドメイン名を除外した．ただし、非ASCII文字は今回の評価では変換を行わないため100.0として計算し、閾値は事前に複数の非ASCII文字に関して調査を行い80.0と設定した．

4.5 評価結果

表2はProject Sonarのデータセットを用いて従来手法と提案手法でホモグラフIDNの検知数を比較した結果である．正規サイトのドメイン名ごとに従来手法のみで検知されたホモグラフIDN、従来手法と提案手法の両方で検知されたホモグラフIDN、提案手法のみで検知されたホモグラフIDNの個数を数え、検知されたホモグラフIDNの総数の多い順に上位20件の正規サイトのドメイン名のみ表に記載した．また、提案手法のみで検知されたホモグラフIDNの中には一部ホモグラフでないIDNが含まれていたため、正しく検知されたことが確認されたIDNのみカウントした．これを見ると、提案手法を用いると従来手法では検知することのできないホモグラフIDNが多数検知できていることが分かる．一方で、従来手法で検知できるものの提案手法では検知できていないドメイン名が一定量存在することも分かる．また、表3は悪性のデータセットを用いて同様の評価を行った結果を表す．悪性のデータセットの場合にはホモグラフIDNの検知数が少なかったため、検知されたすべてのホモグラフIDNについて記載している．この表より、ホモグラフIDNが悪性の目的に利用されており、提案手法を用いることで従来手法では検知できない悪質なホモグラフIDNが検知可能であることが分かる．検知されたホモグラフIDNの詳細は4.6節で説明する．

表4は検知したホモグラフIDNの中に含まれる非ASCII文字の個数についてまとめたものである．これを見ると、正規のドメイン名から1文字置換して生成されたIDNが

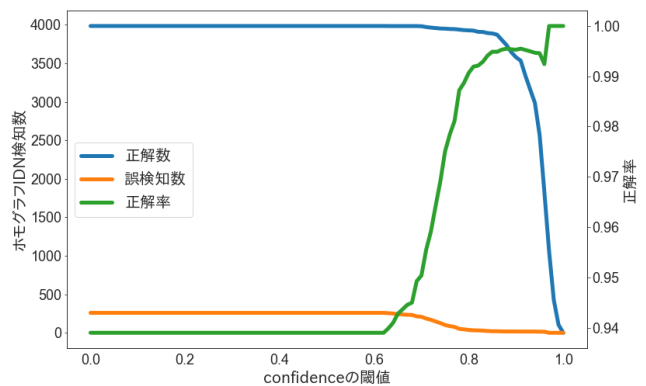


図6 confidenceの閾値と検知したIDN数の関係

多くの割合を占めていることが分かる．一方で、5文字以上置換したIDNも一定数あり、特にドメイン名中のすべての文字が非ASCII文字で置換されたホモグラフIDNは53件存在した．

表2には、検知されたホモグラフIDNに対してブランドプロテクションに関する調査を行った結果も載せている．この調査には2018年8月16日に取得したWHOISのデータを利用した．これを見ると、多くの正規ドメイン名は防衛目的でホモグラフIDNに登録していないことが分かる．また、対策を取っている一部のドメイン名に関して、今回の実験で検知したホモグラフIDNの数に比較すると登録数が少ない．したがって、現状では正規ドメイン名の保有者がブランドプロテクションを目的にホモグラフIDNを取得する対策が十分ではない．このような状況において、本提案手法はユーザ側でホモグラフIDNを検知することが可能であり、ユーザが意図しないサイトへアクセスすることを防ぐために有効である．

次に、4.4.2節で説明したconfidenceの閾値とホモグラフIDNの検知数の関係を調べた．図4.5はProject Sonar Datasetを用いて、提案手法においてconfidenceの閾値と正しく検知されたIDN、および誤検知したIDNの数の関係性を表している．これを見ると、confidenceの閾値を高く設定すると類似度の低い文字列が除外されるため、誤検知数を減らし正解率を上げることが可能になることが分かる．一方で、confidenceの閾値を上げることで正しく検知されるホモグラフIDNの数も減少するため、実運用においては目的に応じて適切な閾値を設定することが必要である．

最後に、表2、表3に含まれる正規サイトのドメイン名に着目すると、二つ特徴がある．一つはAlexa Topsitesで上位にあるドメイン名が複数含まれていることである．特に表2ではAlexa Topsitesの上位100件に含まれるドメイン名が13件存在する．これは、より多くのユーザを本来とは異なるサイトへ誘導するために、攻撃者がアクセス数が多いサイトに類似するホモグラフIDNを多数作成していると考えられる．もう一つは、すべての正規サイトがログイン機能が存在するサイトであるということである．

表 2 Project Sonar Dataset を用いた評価結果

正規ドメイン名	Alexa 順位	#IDNs				ブランド プロテクション
		従来手法でのみ 検知された IDN	従来手法, 提案手法 両方で検知された IDN	提案手法でのみ 検知された IDN	合計	
google	1	0	149	74	223	30
facebook	3	1	101	66	168	0
apple	58	1	67	86	155	0
icloud	368	1	28	69	98	0
amazon	10	2	69	27	98	32
bittrex	386	2	18	76	96	1
blockchain	884	2	40	32	74	0
instagram	17	7	25	28	60	0
yahoo	6	0	43	13	56	31
twitter	13	4	32	19	55	5
paypal	61	0	23	28	51	3
youtube	2	0	22	23	45	0
hotels	748	0	9	35	44	0
whatsapp	69	0	33	3	36	0
coinbase	357	2	8	23	33	0
skype	345	0	18	14	32	30
microsoft	47	1	17	10	28	0
wikipedia	5	1	24	3	28	0
steamcommunity	169	1	8	18	27	0
linkedin	30	2	11	9	22	0
合計		118	1,108	955	2,181	166

表 3 Malicious Dataset を用いた評価結果

正規ドメイン名	Alexa 順位	#IDNs			
		従来手法でのみ 検知された IDN	従来手法, 提案手法 両方で検知された IDN	提案手法でのみ 検知された IDN	合計
paypal	61	0	4	2	6
apple	50	0	4	0	4
facebook	3	0	2	1	3
icloud	368	0	2	1	3
google	1	0	2	0	2
steamcommunity	169	0	0	2	2
elpais	405	0	1	0	1
合計		0	15	6	21

ホモグラフ攻撃では攻撃者はユーザを正規のサイトとは異なるサイトへ誘導することが可能である。そこで、攻撃者がログイン機能が存在する正規のサイトに対してホモグラフドメイン名を作成し、誘導先にコンテンツを正規のサイトに偽装した悪性サイトを用意しておくことで、ユーザの ID やパスワードを含む個人情報を盗み取ることが可能となる。

4.6 ケーススタディ

本節では 4.5 節で確認した評価結果を基に、実際に検知されたホモグラフ IDN について説明する。

4.6.1 従来手法でのみ検知されるホモグラフ IDN

図 7 は、従来手法でのみ検知されたホモグラフ IDN 中に含まれていた非 ASCII 文字の一例である。この中には、

OCR の認識精度が下がる傾向にある線状の文字に類似した文字が含まれており、提案手法ではこれらの文字を OCR で読み取った結果に期待する文字列が含まれていなかったため検知できなかったものと考えられる。今後はマスク画像で用いるマスクの種類を変更したり、読み取り結果から変換表に登録する文字の選定アルゴリズムを変更したりすることで、提案手法でより多くのホモグラフ IDN を検知できるようになると期待される。また、従来手法と提案手法は実用上は併用可能であるため、実際に運用するには従来手法のみで検知されるホモグラフ IDN が存在しても問題はない。

4.6.2 提案手法でのみ検知されるホモグラフ IDN

図 8 は提案手法によって新しく検知されたホモグラフ IDN の一例である。1 番目のドメイン名では“e”に類似す

表 4 ホモグラフ IDN に含まれる非 ASCII 文字の個数

非 ASCII 文字の個数	#IDNs
1	1,528
2	484
3	109
4	3
5	24
6	20
7	5
8	6
9	0
10	2
合計	2,181

非ASCII文字	類似するASCII文字	出現回数
ı	i	83
ï	i	30
ç	c	15
å	a	2
é	e	2
ë	e	2

図 7 従来手法で検知された文字の例

ホモグラフIDN

googleø.com
 offiæ.com
 saħşbinden.com
 sahibindən.com
 samsung.com
 gøogle.com

正規ドメイン名

google.com
 office.com
 sahibinden.com
 sahibinden.com
 samsung.com
 google.com

図 8 提案手法で検知されたホモグラフドメイン名の例

る文字として“ø”が利用されている。従来手法では“o”に類似する文字として変換表に登録されていたが、提案手法ではOCRを用いて、“o”、“e”双方に類似する文字として登録したことによってホモグラフIDNを検知することができた。2番目のホモグラフIDNで利用されている非ASCII文字ははOとEの合字であるが、文字の意味とは関係なく“ce”に見えるという視覚的特徴に着目して作成されている。3~5番目のドメイン名は類似度の低い文字を利用したホモグラフIDNである。これは、有名サイトの場合は既に多数のホモグラフIDNが取得されているため、攻撃者が新たにホモグラフIDNを取得する際にはあまり類似しない文字を使わざるを得ない状況にあるためと考えられる。提案手法では複数の変換結果を登録することでこうしたドメイン名も検知可能である。6番目のドメイン名は発音記号を利用してホモグラフIDNを作成している。これも先ほどと同様の理由で、これまでに使われていない文字を使用する傾向があるからであると考えられる。

以上のように、攻撃者はホモグラフIDNを作成する際に非常に多くの非ASCII文字を分析し活用しているため、変換表を手で作成・更新を行い運用を行うことは極めて困難であることが分かる。今回の提案手法ではドメイン名を入力として自動的に変換表が作成されるため、有効な手法である。

5. 議論

本稿の評価では英字に類似する非ASCII文字を利用したIDNに限定して提案手法の評価を行った。今後、英字同士の類似性を利用したホモグラフドメイン名、数字を利用したホモグラフドメイン名を検知する手法についても検討していきたい。

また、評価においては正規サイトのドメイン名にAlexa Topsitesの上位1,000件を使用した。ホモグラフ攻撃と同様にドメイン名の類似性を利用したタイポスクワッシングでは、順位の低いドメイン名であっても悪用されることが知られている[26]。そこで、入力する正規ドメイン名を増加させることで、より多くのホモグラフIDNを検知できる可能性がある。

6. 関連研究

ホモグラフ攻撃はGabrilovichが2002年に書いた論文で初めて言及された[3]。論文内では2000年4月に発生したPairGain社のドメイン名に対するホモグラフ攻撃の事例を取り上げて、偽のサイトに掲載された虚偽の情報を投資家が信じた結果深刻な損失を被ったことが記されている。また、ホモグラフ攻撃の対策としてブラウザが国際文字を強調して表示する他、ブラウザが類似する文字のマッピングを行い、有名サイトのドメイン名と類似するドメイン名を検知する手法についても言及している。

Holgersらは2006年にホモグラフドメイン名に関する大規模な調査を行っている[27]。調査では大学内のトラフィックを観測し、ユーザがアクセスした正規のドメイン名に対するホモグラフドメイン名を生成し、IPアドレスに紐づいているかどうか確認した。ホモグラフドメイン名の生成には固定的な変換表を用い、英数字に類似する非ASCII文字で置換した。これに対して、我々はホモグラフIDNから正規サイトのドメイン名を特定している点、動的に変換表を作成している点において彼らの研究とは異なる。

Dhamijaらの研究[28]ではフィッシングサイトを模した複数のサイトを用意し、ユーザが正規のサイトと区別できるかどうか調査を行った。調査では正規サイトのドメイン名の“w”を“vw”に置換したホモグラフドメイン名を利用したサイトが最も正答率が低く、91%の被験者が悪性サイトであることを見抜けなかった。

Baojunらの研究[12]では、複数のTLDのゾーンファイルの情報を基にIDNの利用状況の実態に関して調査を行った。この中で、ホモグラフ攻撃において利用されるIDNを自動で検知する仕組みを考案しており、Structural Similarity (SSIM)の値を基に正規ドメイン名とIDNの類似度を測りホモグラフIDNを検知した。これに対して、我々はOCRを利用して類似度を測った点、読み取り結果を複数用意することでより幅広くホモグラフIDNを検知

できた点においてこの研究とは異なる。

タイポスクワッシングに関しては Agten が 2013 年に 7 カ月間にわたって調査を行っている [2]。このなかで、防御目的でタイポスクワッシングドメイン名を取得する商標権者が少ないことを指摘している。また、すでにドメイン長が短い有名サイトに対しては、想定されるタイポスクワッシングドメイン名の 75%以上が取得されており、今後はより長いドメイン名が標的となると考えられる。

Szurdi らの研究 [26] では Alexa Topsites の下位のドメイン名に対してもタイポスクワッシングが行われており、.com ドメイン名の約 20%がタイポスクワッシングに起因するものであることを発見した。また、不正なドメイン名の取得に対する介入策や、ユーザ側でタイポスクワッシングを検知する仕組みについても議論している。

本稿で提案した OCR を利用したホモグラフ IDN の検知手法は上記のいずれの研究とも異なり、OCR を利用して視覚的に類似する文字の変換表を動的に生成し、マスク画像を利用して複数の読み取り結果を生成することでより多くのホモグラフ IDN の検知に成功している。

7. 結論

本稿では OCR を用いてホモグラフ IDN を検知する新たな手法を提案した。従来手法では固定的な変換表を利用することでホモグラフ IDN を検知していたが、変換表を手動で更新しなくてはならないという課題があった。そこで、提案手法ではホモグラフ IDN が視覚的に正規のサイトに類似しているという特徴に着目して、OCR を利用して動的に変換表を作成しホモグラフ IDN を検知する手法を提案した。評価では 319 万件の実際に利用されていた IDN、および 1 万件の悪性 IDN を利用して、従来手法では検知できないホモグラフ IDN を提案手法では検知できることを確認した。本提案手法を活用することで、ユーザがアクセスするドメイン名がホモグラフ IDN であるかどうか判断することが可能となる。

謝辞 本研究の一部は JSPS 科研費 16H02832 の助成を受けたものです。

参考文献

- [1] Sawabe, Y., Chiba, D., Akiyama, M. and Goto, S.: Detecting Homograph IDNs Using OCR, *Proc. Asia-Pacific Advanced Network (APAN)* (2018).
- [2] Agten, P., Joosen, W., Piessens, F. and Nikiforakis, N.: Seven months' worth of mistakes: A longitudinal study of typosquatting abuse, *Proc. Network and Distributed System Security Symp. (NDSS)* (2015).
- [3] Gabrilovich, E. and Gontmakher, A.: The homograph attack, *Communications of the ACM*, Vol. 45, No. 2, p. 128 (2002).
- [4] Symatec: Bad Guys Using Internationalized Domain Names (IDNs), <https://www.symantec.com/connect/blogs/bad-guys-using-internationalized-domain-names>

- idns.
- [5] 宇井隆晴: 日本語ドメイン名 インターネット標準策定の軌跡, インプレス R&D (2006).
- [6] Faltstrom, P., Hoffman, P. and Costello, A.: Internationalizing Domain Names in Applications (IDNA), RFC 3490, RFC Editor (2003).
- [7] Hoffman, P. and Blanchet, M.: Nameprep: A Stringprep Profile for Internationalized Domain Names (IDN), RFC 3491 (2003).
- [8] Costello, A.: Punycode: A Bootstring encoding of Unicode for Internationalized Domain Names in Applications (IDNA), RFC 3492 (2003).
- [9] McElroy, T., Hannay, P. and Baatard, G.: The 2017 homograph browser attack mitigation survey (2017).
- [10] Zheng, X.: Phishing with Unicode Domains, <https://www.xudongz.com/blog/2017/idn-phishing/> (2017).
- [11] Wordfence: Chrome and Firefox Phishing Attack Uses Domains Identical to Known Safe Sites, <https://www.wordfence.com/blog/2017/04/chrome-firefox-unicode-phishing/> (2017).
- [12] Liu, B., Lu, C., Li, Z. et al.: A Reexamination of Internationalized Domain Names: The Good, the Bad and the Ugly, *Proc. IEEE/IFIP Int. Conf. on Dependable Systems and Networks (DSN)*, pp. 654–665 (2018).
- [13] Mozilla Foundation: Public Suffix List, <https://publicsuffix.org/list/>.
- [14] Chiba, D., Yagi, T., Akiyama, M. et al.: DomainProfiler: Discovering Domain Names Abused in Future, *Proc. 46th Annu. IEEE/IFIP Int. Conf. on Dependable Systems and Networks (DSN)*, pp. 491–502 (2016).
- [15] Ulikowski, M.: dnstwist, <https://github.com/elceef/dnstwist/>.
- [16] The Unicode Consortium: Unicode Security Mechanisms for UTR #39, <https://www.unicode.org/Public/security/11.0.0/confusables.txt> (2018).
- [17] Rapid7: Project Sonar Forward DNS, https://opendata.rapid7.com/sonar.fdns_v2/ (2017).
- [18] hpHosts: Ad and Tracking servers only, https://hosts-file.net/ad_servers.txt.
- [19] RiskAnalytics: DNS-BH Malware Domain Blocklist, <http://www.malwaredomains.com/>.
- [20] PhishTank: PhishTank, <https://www.phishtank.com>.
- [21] The Spamhaus Project Ltd.: The Domain Block List., <https://www.spamhaus.org/dbl>.
- [22] URIBL.COM: URIBL, <https://uribl.com/about.html>.
- [23] Alexa Internet, I.: Alexa Topsites, <https://www.alexa.com/topsites>.
- [24] Google: Tesseract OCR, <https://opensource.google.com/projects/tesseract/>.
- [25] Smith, R.: An overview of the Tesseract OCR engine, *Proc. Int. Conf. Document Analysis and Recognition (ICDAR)*, Vol. 2, pp. 629–633 (2007).
- [26] Szurdi, J., Kocso, B., Cseh, G. et al.: The Long “Taile” of Typosquatting Domain Names., *Proc. USENIX Security Symp.*, pp. 191–206 (2014).
- [27] Holgers, T., Watson, D. E. and Gribble, S. D.: Cutting through the Confusion: A Measurement Study of Homograph Attacks., *Proc. USENIX Annual Technical Conf.*, pp. 261–266 (2006).
- [28] Dhamija, R., Tygar, J. D. and Hearst, M.: Why phishing works, *Proc. SIGCHI Conf. Human Factors in Computing Systems*, pp. 581–590 (2006).